

曲線合戻けたのズレ止めの挙動に関する実験的研究

大阪大学工学部

正員

前田幸雄

大阪市役所土木局

正員

石岡英男

高田機工株式会社

正員

○井汲久

1. まえがき 本試験は一般の直線合戻けたと力学的条件を異にするプレストレスしない連続曲線合戻けたに異形ストラットを用いた場合について、ズレ止めの挙動を試験的に究明しようとするものである。一般に合戻けたの設計時におけるズレ止めの計算は、鋼けたと床版との間に生ずるせん断力に抵抗するよう設計されてゐるが、曲率の小さい曲線合戻けたにおいては曲げねじり等の附加断面力が作用し、ズレ止めにも、橋脚直角方向の鋼けたと床版との間のせん断力を考慮する必要がある。以上の立場から、本研究はプレストレスしない連続曲線合戻けたのひびわれ幅と鉄筋量、周長率およびズレ止めピッチの関係、耐荷力を知ることを目的とした。このために図-1のようないくつかの試験体を作製し、静的試験を行ながけたを構造物試験装置に設置する際、ねじれによるクラックが床版表面に発生した。今回の報告はクラックを接着剤で補修した状態で試験したものである。

2. けた解析方法および試験方法 本試験体は半径4m、けた長 $2 \times 4.688m = 8.377m$ 、中心角 $2 \times 60^\circ = 120^\circ$ の2径間連続曲線合戻けたであり、その両端を完全固定し、中间支点をねじりによって回転固定とし、その解析には、V.E.スカラーフの薄肉弾性ばかりの理論を用いて解析した。P.C.ハインズのCURSGA IIIを使用して断面力を算出した。ここでジベルに作用する橋脚直角方向のせん断力の算出は図-2により $(TS+Tw)/H = F$ と仮定し、ジベルに作用するせん断力は橋脚直角方向のせん断力 F/B (B : フランジ幅) と橋脚直角せん断力ベクトル合成として算出した。またズレ止めは両スパン全長にわたって異形ストラット 19° をもつ。

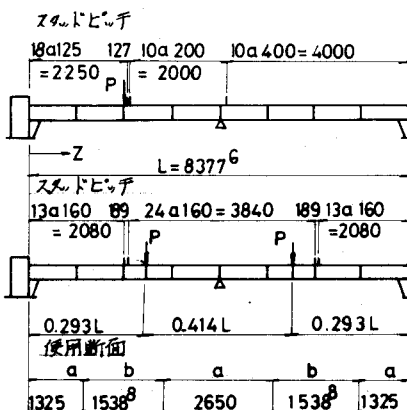


図-1 試験体一般図

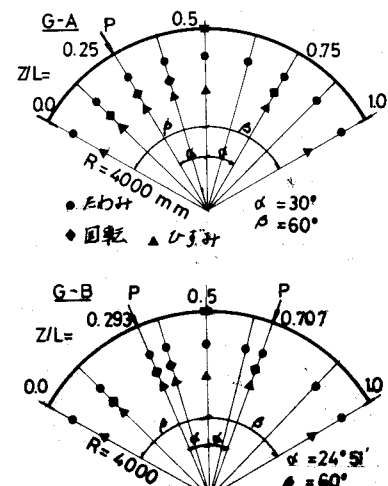
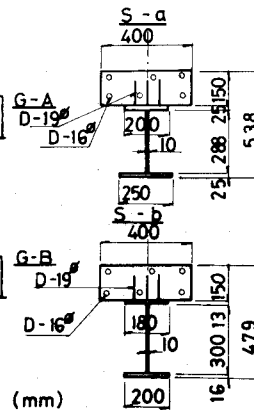


図-2 測定履歴

列使用した。試験体は両端を床にアンカーボルトにより固定しねじり、曲げ固定をはかった。また載荷位置によりA,Bにわけ、Aけたは $Z/L=0.25$ に載荷し、Bけたは $Z/L=0.293$ 0.707の2点載荷とした。ただし荷重は鉛直載荷した。

(写真-1)

3. 試験結果 試験けたに設置時にねじれ、フランジが床版表面に発生したため両端部の固定条件を固定にはば近い状態で実験を実施した。この状態でのA,Bけたの静的試験の観測結果を以下に示す。 $Z/L=0.25$, $Z/L=0.293$ の荷重-たわみを図-4に、床版と鋼けたの相対ずれを図-5に、最大ひびわれの状態を図-6にそれぞれ示した。また表-1に下フランジの曲げ応力と曲げねじり応力の値をあげた。図-7にかけた $Z/L=0.5$ 点の荷重-ひずみ曲線を示した。以降の結果からたわみは理論値より大きく、この原因を解析理論工の境界条件から説明中である。上フランジの主応力方向はひびわれ方向に対してもほぼ直交しておりどちら向は荷重の状態、測定点により異なることを示している。また上フランジ主応力に対する下フランジ最大せん断力の比は各測定点とも0.5~0.8程度の範囲である。ここでよりシベルにかけた軸に対してある程度角度をもつてせん断力が作用しているものと考えられる。けたの正モーメント及び負モーメントにおける中立軸はこれぞれ合成断面、鋼断面の位置を示してある。床版と鋼けたとの相対ずれについてはシベル設計荷重($A=23^{\circ\prime\prime}$, $B=25^{\circ\prime\prime}$)に対して載荷点で $0.13\sim0.15^{\circ\prime\prime}$ のずれを、また中间支点上では $0.07^{\circ\prime\prime}$ 程度のずれをそれぞれ

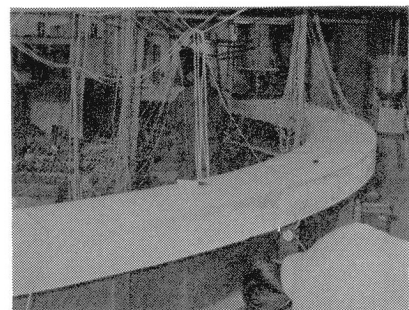


写真-1

わみを図-4に、床版と鋼けたの相対ずれを図-5に、最大ひびわれの状態を図-6にそれぞれ示した。また表-1に下フランジの曲げ応力と曲げねじり応力の値をあげた。図-7にかけた $Z/L=0.5$ 点の荷重-ひずみ曲線を示した。以降の結果からたわみは理論値より大きく、この原因を解析理論工の境界条件から説明中である。上フランジの主応力方向はひびわれ方向に対してもほぼ直交しておりどちら向は荷重の状態、測定点により異なることを示している。また上フランジ主応力に対する下フランジ最大せん断力の比は各測定点とも0.5~0.8程度の範囲である。ここでよりシベルにかけた軸に対してある程度角度をもつてせん断力が作用しているものと考えられる。けたの正モーメント及び負モーメントにおける中立軸はこれぞれ合成断面、鋼断面の位置を示してある。床版と鋼けたとの相対ずれについてはシベル設計荷重($A=23^{\circ\prime\prime}$, $B=25^{\circ\prime\prime}$)に対して載荷点で $0.13\sim0.15^{\circ\prime\prime}$ のずれを、また中间支点上では $0.07^{\circ\prime\prime}$ 程度のずれをそれぞれ

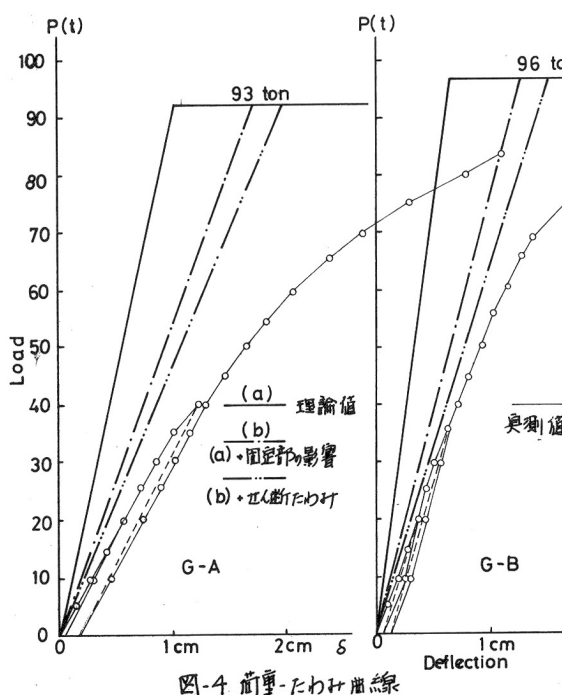


図-4 荷重-たわみ曲線

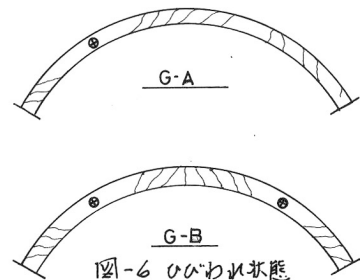


図-6 ひびわれ状態

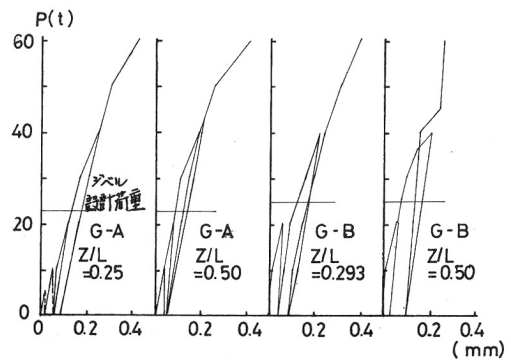


図-5 相対ずれ

えたが、床版内の鉄筋ひずみ分布から荷重増加に対するひずみ増加は比例的でありこの程度の相対すれば荷重-ずみ曲線から荷重 30t 程度までの曲線に変化が認められることがリジベル設計荷重に対して安全側にゆると思われる。最大ひずみ幅と鉄筋応力の関係は表-2に示した。表中の α は連続合成けた小委員会の調査研究報告を上げたものである。この値と比較して、本試験の最大ひずみ幅は鉄筋応力 1300kg/cm^2 近で 0.25mm を越していき、また新示う書における鉄筋の許容応力を割増した値 $A=1680\text{kg/cm}^2$ に対して最大ひずみ幅は 0.25mm 程度である。この程度のひずみ幅は実用可能と思われる。本試験の最終荷重はA切にて 82.5t 、B切にて 87.5t であり両とも載荷点のジャッキによる回転拘束作用で半径の内側床版の圧がいを主じた。理論値はA切にて 93t 、B切にて 96t である。

4. 結論 1) 床版に生じたひずみのうち何はどの付近のエフランジの主応力方向にはほぼ直角し、それ止にもいたる程度角度をも、たせん断力が作用すると思われる。
 2) 貨物-メント域における鉄筋率、わよひ周長率の問題は新示う書のアレストレスしない合成けたの規定を曲線化した上で摘要できると思われる。3) 床版の鋼けたの相対すればそれ止の設計荷重内で大きな変化がないと思われる。4) 今後、固定条件を満足し、かつけた設置時にかけて床版にクラックの発生しない方法で追加試験を行なう予定であり、後の機会に報告する。

1) U.S. ウラフ著：“薄肉弹性柱げたの理論”技術堂 1967.

2) Kenneth. R. Spates, Conrad. P. Heins Jr "The analysis of single curved girder with various loadings and boundary conditions" Univ. of Maryland. Civil Engg. Report No. 20. June 1968

3) 連続合成けた小委員会“調査研究報告”

表-1 下フランジの応力

Z/L	(kg/cm ²)				
	A 0.0	A 0.25	A 0.5	B 0.25	B 0.5
$\beta_1 = (\text{Exp.})$	1027	1344	21	840	205
$\beta_2 = (\text{Theo.})$	1532	1236	556	1050	1318
β_1/β_2	0.67	1.09	—	0.80	—
$\beta_{w1} = (\text{Exp.})$	966	945	378	470	189
$\beta_{w2} = (\text{Theo.})$	898	529	241	558	383
β_{w1}/β_{w2}	1.08	1.79	1.57	0.82	0.73

↑曲げ応力
↓曲げねじり応力

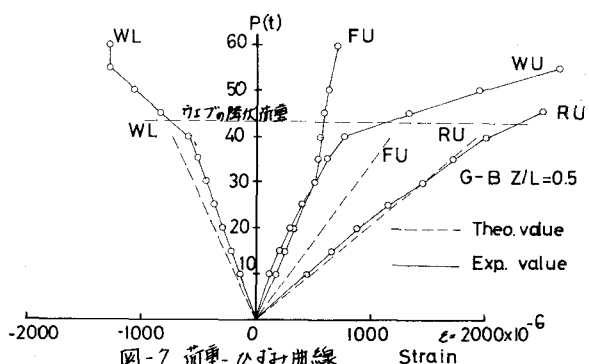


図-7 荷重-ひずみ曲線

表-2 最大ひずみと鉄筋応力

	鉄筋	コネクタとの 断面積比 (%)	周長率 (cm/cm)	$\sigma_r = 1000$ kg/cm^2	$\sigma_r = 2000$ kg/cm^2
文献3*	6-D16	1.58	0.040	0.133 0.148	0.208 0.212
本試験	6-D16	2.00	0.050	0.512	0.298